

ВЫХОДНЫЕ ХАРАКТЕРИСТИКИ АКУСТИЧЕСКОГО ИНТЕРФЕРОМЕТРА С ДВУМЯ ИЗЛУЧАЮЩИМИ ПРЕОБРАЗОВАТЕЛЯМИ

Ан.С.Рубанов

Белорусский государственный аграрный технический университет, г.Минск

В докладе обсуждаются результаты теоретического и экспериментального исследования амплитудной (АХ) и фазовой характеристик (ФХ) интерферометра плоских гармонических акустических волн с двумя излучающими преобразователями. Выражение, описывающее результирующие колебания в плоскости приемного (второго) преобразователя,

$$\begin{aligned} \xi_{2\Sigma} = & \xi_{10} \exp(-\alpha L) \exp[i(\alpha x - kL + \varphi_{10})] \frac{1 + r_2 \exp(-i\delta_2)}{1 - R \exp[-i(2kL + \delta_1 + \delta_2)]} + \\ & + \xi_{20} \exp[i(\alpha x + \varphi_{20})] \frac{1 + r_1 \exp(-2\alpha L) \exp[-i(2kL + \delta_1)]}{1 - R \exp[-i(2kL + \delta_1 + \delta_2)]}, \end{aligned} \quad (1)$$

где ξ_{10} , ξ_{20} и φ_{10} , φ_{20} - амплитуды и начальные фазы колебаний, излучаемых первым и вторым преобразователями соответственно, L - акустическая база (длина резонатора), α - коэффициент поглощения колебаний в среде резонатора, $R_0 = r_1 r_2 \exp(-2\alpha L)$, r_1 и r_2 , δ_1 и δ_2 - модули и фазы комплексных коэффициентов отражения колебаний от первого и второго преобразователей соответственно, $i = \sqrt{-1}$.

Принципиально возможно получить аналитическое представление для АХ и ФХ интерферометра рассматриваемого типа. Однако в общем случае для произвольных условий отражения и параметров резонатора аналитическое описание выходных характеристик в силу большой громоздкости получаемых выражений не имеет смысла.

На рис. 1 - 3 приведены в качестве иллюстрации графики зависимостей выходных характеристик интерферометра при некоторых произвольных значениях комплексных коэффициентов отражения от преобразователей.

Рассмотрим один из частных случаев. Пусть $\xi_{10} = \xi_{20}$, $r_1 \neq 1$; $r_2 = 1$; $\delta_1 = \delta_2 = 0$; $\varphi_{10} = \varphi_{20} = 0$ (последнее для определенности). Тогда из (1) можно получить для АХ

$$U(I) = \xi_{10} \sqrt{\frac{4 \exp(-2\alpha L) - 4(1 + r_1) \exp(-\alpha L) \cos(kL) + [1 + 2R \cos(kL) + R^2]}{1 - 2R \cos(2kL) + R^2}}. \quad (2)$$

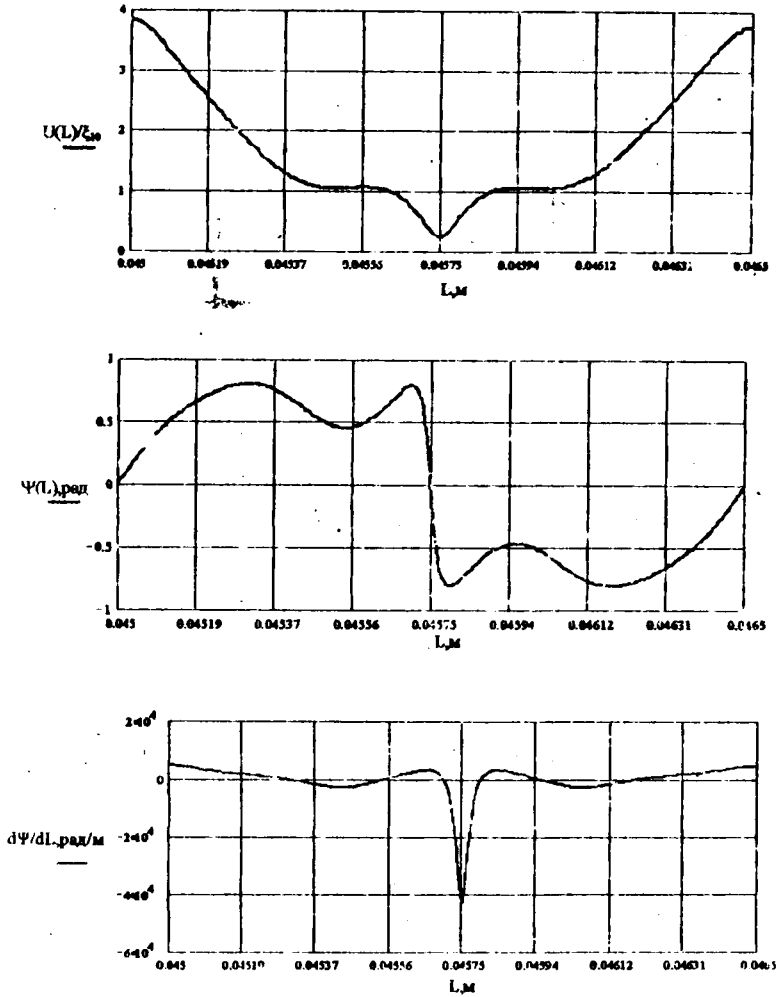


Рис. 1 Графики зависимостей AX , ΦX и крутизны ΦX от акустической базы при $\eta_1=0,9$, $\eta_2=0,9$, $\alpha=10m^{-1}$, $\delta_1=\delta_2=0$, $\xi_{10}=\xi_{20}=1$, $\phi_{10}=\phi_{20}=0$

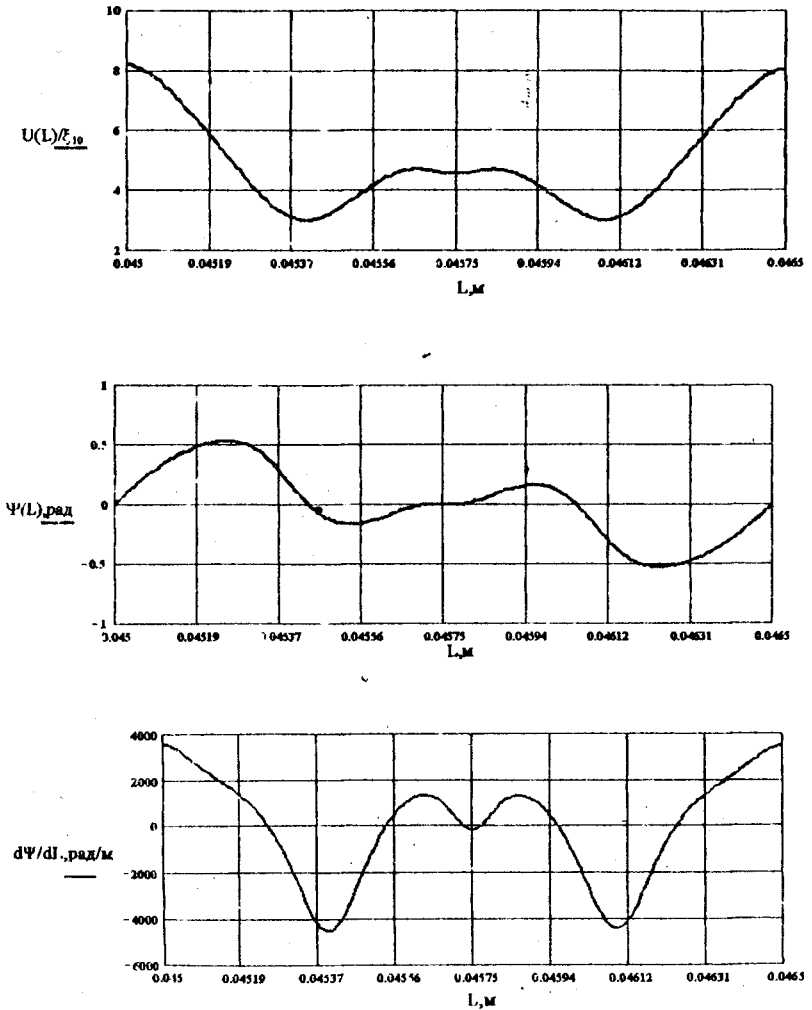


Рис. 2. Графики зависимостей АХ, ФХ и крутизны ФХ от акустической базы при $\gamma_1=0,9$, $\gamma_2=0,9$, $\alpha=10\text{м}^{-1}$, $\delta_1=\delta_2=0$, $\xi_{10}=1$, $\xi_{20}=\pi$, $\phi_{10}=\phi_{20}=0$

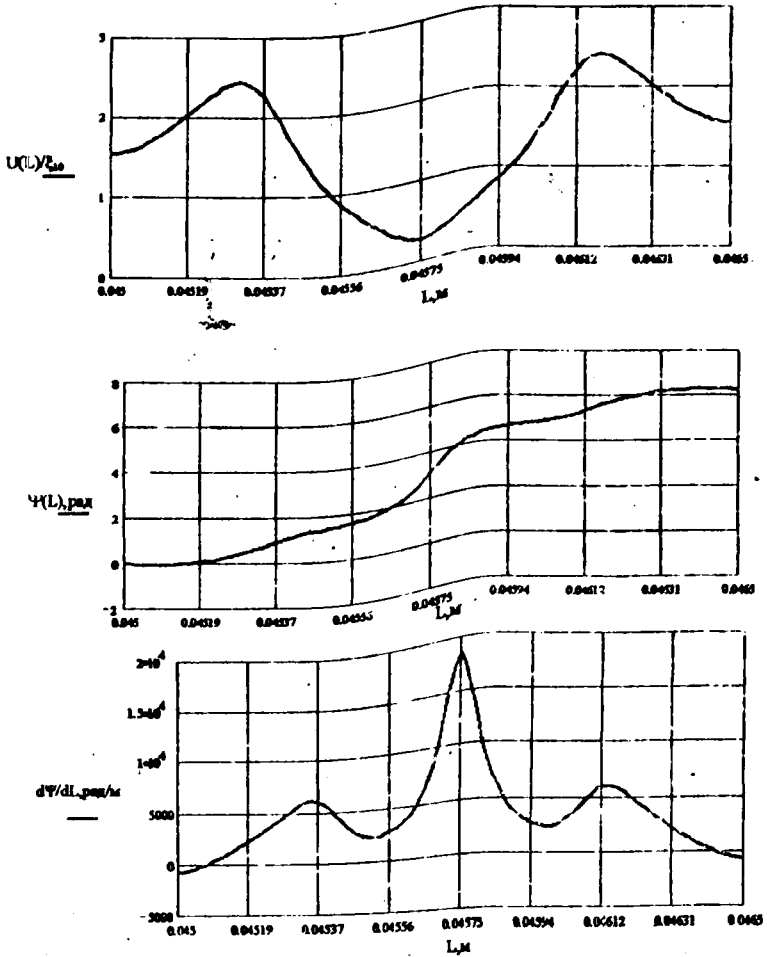


Рис.3. Графики зависимостей $A\chi$, $\Phi\chi$ и крутизны $\Phi\chi$ от акустической базы l при $\tau_1=0,9$, $\tau_2=0,9$, $\alpha=10\text{м}^{-1}$, $\delta_1=\pi$, $\delta_2=0$, $\xi_{10}=\xi_{20}=1$, $\phi_{10}=\phi_{20}=0$

и для ФХ

$$\Psi(L) = \arctan \frac{(1+r_1) \exp(-\alpha L) \sin(kL) + r_1 \sin(2kL)}{(1-r_1) \exp(-\alpha L) \cos(kL) + \frac{1}{2}(1-r_1^2)} \quad (3)$$

Если одновременно выполняется условие

$$\cos(kL) = -1,$$

то при этом наблюдается локальный минимум АХ интерферометра, а крутизна ФХ достигает одного из своих локальных максимумов и оказывается равной

$$\frac{\partial \Psi}{\partial L} = \frac{(1+r_1) \left[\exp(-2\alpha L) - \frac{1}{2} \frac{(1-r_1)^2}{(1+r_1)} + r_1 \right] \omega}{(1-r_1) \left[\exp(-\alpha L) - \frac{1}{2}(1+r_1) \right]^2} \cdot \frac{\omega}{v} \quad (4)$$

При $\alpha L \ll 1$; $\xi_{10} \neq \xi_{20}$; $r_1 \neq 1$, $r_2 = 1$; $\delta_1 \neq 0$; $\delta_2 = 0$; $\varphi_{10} - \varphi_{20} = 0$ (последнее для определенности) можно получить следующие выражения, аналогичные формулам (2) и (3):

$$U(L) = \frac{\sqrt{\left[\xi_{10}^2 \exp(-2\alpha L) + 4\xi_{10}\xi_{20} \exp(-\alpha L) [\cos(kL) + R \cos(kL - \delta_1)] + \xi_{20}^2 \right] + 2R \cos(2kL - \delta_1) + R^2}}{1 - 2R \cos(2kL - \delta_1) + R^2} \quad (5)$$

$$\Psi(L) = \arctan \frac{\xi_{10} [\sin(kL) + R_0 \sin(kL - \delta_1)] \exp(-\alpha L) + \xi_{20} R_0 \sin(2kL - \delta_1)}{\xi_{10} [\cos(kL) - R_0 \cos(kL - \delta_1)] \exp(-\alpha L) + 0.5\xi_{20} (1 - R_0^2)} \quad (6)$$

Выражения (2) - (6) проанализированы и проиллюстрированы в работе [1].

Литература

1. В.И. Крылович, А.С. Рубанов, О.П. Приходько, П.Н. Логвинович, В.В. Михальков, Е.П. Чернухо. Условия оптимизации выходных характеристик интерферометра плоских акустических волн. - В настоящем сборнике.